

地震災害時におけるライフライン系の
供給機能と最適設計に関する研究

京都大学 正員 山田善一

京都大学 正員 家村若和

中部電力 正員〇西野健三

1. まえがき ライフライン系は都市における日常、経済、社会活動を支える極めて公共性の高い都市供給施設である。ことに、都市の耐災性が重要視されていける今日において、地震災害時におけるその安全性の検討は、早急に対応すべき問題である。

本研究では、このライフライン系に着目し、地震災害時における施設群の物的被害のかなうず、その社会、経済的被害の原因となる供給機能の低下を考慮した最適耐震設計を試みた。なお、ライフライン系の一例として、上水道システムを取り上げた。

2. 供給機能を考慮した最適耐震設計 上水道システムをモデル化すれば、リンクとノードからなる要素が考えられる。耐用年数下年間に予期される最大震度 y により、このリンク部分の水の通過が不可能になる確率は、設計レベルを y_R^* (修正メルカリ震度)とすれば、次式で与えられる。

$$P_{FR}(y_R^*) = \sum_{i=1}^{n_L} \sum_{j=1}^{m_i} \int_0^\infty F_{Rij}(y) \frac{dP_{Rij}(y)}{dy} dy \quad (1) \quad \begin{array}{l} (R=1, 2, \dots, R) \\ R: リンクの番号 \end{array}$$

$$\text{ここに } F_{Rij}(y) = \begin{cases} 0 & (y \leq y_R^*) \\ \left(\frac{y - y_R^*}{y_R^* - y_R^*} \right)^{n_R} & (y_R^* \leq y \leq y_R^*) \\ 1 & (y_R^* \leq y) \end{cases} \quad (2)$$

ただし、 $P_{Rij}(y)$ は、丁年間における震度の最大値 y の確率

Fig.1 破壊確率 $F_{Rij}(y)$

分布である。 j は震源 f_{ij} に関するものであり、 f_{ij} は互いに独立であるとする。また、 $F_{Rij}(y)$ はFig.1に示したように最大震度 y によりリンクが破壊する確率を与える。式(1)より、供給地 A_i と需要地 B_j の間のルートの信頼性は、 $A_i - B_j$ 間のいずれかのルートが一度も不通路になること無生じない確率 R_{ij} として与えられる。

$$R_{ij} = R_{ij}(P_{R1}, P_{R2}, \dots, P_{Rn}) \quad (3)$$

この R_{ij} は $A_i - B_j$ 間のネットワークの形状によって定まり、中でも各リンクが直列あるいは並列に連結されたり場合には、比較的容易に求まる。ただし、 P_{Rij} は互いに独立であるとする。次に、このシステムの総費用を定める。まず、リンク長の建設費用関数 $C_R(y_R^*)$ は次式で与えられる。

$$C_{Rk}(y_R^*) = L_{Rk} C_{Rk}(g_{Rk}) G_{Rk}(y_R^*) \quad (4)$$

ここに

$$H_{Rk}(g_{Rk}) = \left(\frac{g_{Rk}}{L_{Rk} W} \right)^{dk} \quad (0 < dk < 1) \quad (5) \quad G_{Rk}(y_R^*) = \frac{G_{1Rk}}{G_{2Rk} - y_R^*} + G_{3Rk} \quad (6)$$

ただし、 L_{Rk} 、 C_{Rk} 、 g_{Rk} 、 W は、それぞれ、リンク長、単価、流量サイズ、単位流量サイズを示す。また、 G_{1Rk} 、 G_{2Rk} 、 G_{3Rk} は y_R^* の変化による建設費用増減の倍率を表す定数であり、それぞれ、18、12.2、0.607とした。次に被害が生じた場合、その修復費用として、損失費用関数を次式で与えられるとする。

$$C_{D_k}(y_k^*, y) = \begin{cases} 0 & (y \leq y_k^*) \\ \Phi_k(y_k^*) \{ \exp [d_k(y - y_k^*)] - 1 \} & (y_k^* \leq y \leq 12) \\ \Phi_k(y_k^*) \{ \exp [d_k(12 - y_k^*)] - 1 \} & (y \geq 12) \end{cases} \quad (7)$$

ここに、 $\Phi_k(y_k^*) = L_k C_k H_k(y_k^*)$ (8)、ただし、 d_k はこのわれやすさを示す定数である。これより損失費用の期待値は次式で与えられる。

$$E_k[C_{D_k}(y_k^*)] = \sum_{i=1}^{n_m} \sum_{j=1}^{\infty} \int_0^{\infty} C_{D_k}(y_k^*, y) e^{-\mu_k^* dy} dy \quad (9)$$

ここで、 $P_k(y) = P[Y \leq y]$ (10)。なお、数値計算にあたっては、地震のマグニチュードの累積分布関数 $F_k(m)$ より $P_k(y), P_k(y)$ を誘導した。また、 μ_k^* は貨幣価値の1年あたりの低減率を表す。式(4),(9)より総費用 C_T は次式となる。

$$C_T = \sum_{k=1}^{n_m} (C_{D_k} + E_k[C_{D_k}]) \quad (11)$$

結局、最適化としては、式(3)で与えられる各間の信頼性 R_{ij} を、ある一定の値 R_{ij}^* 以上にする制約条件と式(11)より次のようになる。

$$C_T \rightarrow \text{minimum} \quad (12) \quad R_{ij} \geq R_{ij}^* \quad (13)$$

3. 計算例およびその結果

Fig.2 は Los Angeles 上水道システムのモデル図である。このモデルにおいて式(12),(13)を用ひ、最適設計レベル y_k^* の決定を試みた。まず Table 1 は制約条件(13)がなしの場合の結果である。ここで、 $y_k^* (k=1,2,7,8)$ が多少大きいのは、San Fernando Fault の影響と考えられる。また、 R_{ij} の値には、二重ルートの信頼性の高さが表されており。次に、Table 2 は各制約条件を加えた場合であり、 R_{ij} に関するリミットの $y_k^* (k=1,2,7,8)$ が Table 1 の値よりも大きくなっている。Fig.3 は各制約条件の場合の y_k^* と P_{F_k} の値をまとめたものであり、Table 3 は制約条件別の総費用 C_T の比較である。こ

こに示したとおり、経済面だけを考慮した最適設計は、信頼性の欠如を生じさせることにもなる場合がある。また、ここで提案した手法は、各ルートの信頼性、経済性両面からの評価に役立つと考えられる。

参考文献

- 1) C. Lomnitz, E. Rosenbluth: Seismic Risk and Engineering Decisions, Elsevier, 1976, 2) John A. Dracup, C. Martin Duke, Stephen E. Jacobsen: Optimization of Water Resource Systems Incorporating Earthquake Risk, 1976.

Fig.3 制約条件別 y_k^*, P_{F_k} の比較

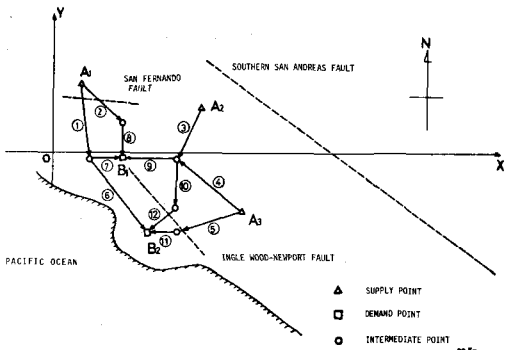


Fig.2 Los Angeles Water Supply System Model

Table 1 Optimal Solution y_k^* and Optimal Cost C_T

Link No.	y_k^*	$P_{F_k}(\%)$	$Q_k (\text{m}^3/\text{s})$
1	7.1	22.27	9.0×10^3
2	7.3	23.34	8.0×10^4
3	6.3	11.97	16.0×10^4
4	6.1	19.11	5.0×10^4
5	6.3	11.63	6.0×10^4
6	6.2	11.11	4.0×10^4
7	6.7	16.36	4.0×10^4
8	7.1	21.92	8.0×10^4
9	6.1	15.65	12.0×10^4
10	6.4	13.32	10.0×10^4
11	6.4	12.29	6.0×10^4
12	6.5	12.67	10.0×10^4

A-B _j	$R_{ij}(\%)$
1-1	56.09
2-1	74.28
3-1	75.30
1-2	81.95
2-2	86.88
3-2	77.91

$C_T = 1.942 \times 10^{11} [\text{V}]$

Table 2 Optimal Solution y_k^* and Optimal Cost C_T ($R_{ij} \geq R_{ij}^*$)

Link No.	y_k^*	$P_{F_k}(\%)$	A-B _j	$R_{ij}(\%)$
1	7.4	13.15	1-1	90.09
2	7.5	20.77	2-1	74.28
7	7.2	11.77	3-1	75.30
3	7.3	19.20	1-2	72.15
2			2-2	66.68
3			3-2	77.51

$C_T = 1.948 \times 10^{11} [\text{V}]$

Table 3 制約条件別 C_T の比較

R_{ij}^0	$C_T [\text{V}]$
$R_{11}^0 = R_{21}^0 = R_{31}^0 = R_{12}^0 = R_{22}^0 = R_{32}^0 = 90\%$	1.948×10^{11}
R_{21}^0 を 90% とした場合	2.023×10^{11}
R_{31}^0 を 90% とした場合	1.990×10^{11}
R_{12}^0 を 90% とした場合	2.023×10^{11}
R_{22}^0 を 90% とした場合	2.099×10^{11}
R_{32}^0 を 90% とした場合	1.967×10^{11}
制約をしきの場合	$C_T = 1.942 \times 10^{11} [\text{V}]$